

УДК 532.546:949.8

**Численное решение задачи  
о стационарной неизотермической  
двухфазной фильтрации методом  
установления\***

**О.Б. Бочаров<sup>1</sup>, И.Г. Телегин<sup>2</sup>**

<sup>1</sup>*Институт водных и экологических проблем СО РАН, Новосибирск*

<sup>2</sup>*Научно-исследовательский и проектный институт  
“КогалымНИПИнефть”, Тюмень*

E-mail: igtelegin@yandex.ru

Численно изучается структура решений стационарной неизотермической задачи двухфазной фильтрации несмешивающихся жидкостей. Исследуется характер сходимости нестационарных решений к стационарным. Показывается, что при различных значениях параметров решение может иметь участок, где  $s(x) \equiv 0$  или  $s(x) \equiv 1$ . Изучается влияние температуры на структуру решений уравнения для водонасыщенности.

**Ключевые слова:** нестационарная неизотермическая фильтрация, стационарные решения, асимптотическое поведение решений, неизотермическая фильтрация.

**ВВЕДЕНИЕ**

В процессе изучения вытеснения нефти водой из нефтяных пластов с учетом капиллярных сил наиболее используемой является модель Маскета–Левретта (МЛ модель) [1]. На основе МЛ модели в работе [2] предложена модель неизотермической фильтрации (МЛТ модель), на примере которой удалось доказать разрешимость основной краевой задачи.

При нахождении решений на достаточно большой временной сетке возникает проблема асимптотического поведения решений для МЛ и МЛТ моделей. Совместные работы в [3], а также работы [4–5] посвящены теоретическому исследованию сходимости нестационарной задачи для МЛ модели к стационарным решениям.

В настоящей работе численно изучается структура стационарных решений МЛТ модели в изотермическом и неизотермическом случаях с помощью численных методов.

---

\* Работа выполнена при частичной финансовой поддержке СО РАН (интеграционный проект № 117).

## 1. ПОСТАНОВКА ЗАДАЧИ

В однородной пористой среде при отсутствии массовых сил одномерная модель неизотермической двухфазной фильтрации Маскета–Левретта (МЛТ) имеет вид [2]:

$$\begin{cases} ms_t = (k_0 a_0 (p_{cs} s_x + p_{c\theta} \theta_x) - Q(t)b)_x, \\ \theta_t = (\lambda \theta_x - Q(t)\theta)_x, \end{cases} \quad (1a)$$

где  $t$  — время,  $x \in [0, L]$  — пространственная переменная,  $L$  — расстояние от нагнетательной скважины до эксплуатационной,  $s = (s_1 - S_1^0)/(1 - S_2^0 - S_1^0)$  — динамическая насыщенность смачивающей фазы (воды),  $s_1$  — истинная насыщенность смачивающей фазы,  $(S_1^0, S_2^0) = \text{const}$  — остаточные водо- и нефтенасыщенности,  $\theta \in (\theta_{\min}, \theta_{\max})$  — температура,  $m = m_0(1 - S_1^0 - S_2^0)$ ,  $m_0 = \text{const}$  — пористость нефтяного пласта,  $k_0 = \text{const}$  — абсолютная проницаемость коллектора,  $a_0(s, \theta) = -k_2 b / \mu_2$ ,  $p_s(s, \theta) = (m_0 / k_0)^{1/2} \gamma j$  — капиллярное давление,  $\gamma(\theta)$  — коэффициент поверхностного натяжения,  $j(s)$  — функция Левретта,  $b(s, \theta) = k_1 / (k_1 + \mu k_2)$  — коэффициент подвижности вытесняющей фазы,  $k_i(s)$  — относительные фазовые проницаемости ( $k_1$  — воды и  $k_2$  — нефти или газа),  $\mu = \mu_1 / \mu_2$ ,  $\mu_i(\theta)$  — соответствующие вязкости фаз,  $\lambda(s, \theta) = \sum_{i=1}^3 \frac{\alpha_i \lambda_i}{\rho_i c_{pi}}$  — коэффициент температуропроводности смеси,  $\rho_i$  — плотности воды ( $i = 1$ ), нефти ( $i = 2$ ), коллектора ( $i = 3$ ),  $\alpha_1 = m_0 s_1$ ,  $\alpha_2 = m_0(1 - s_1)$ ,  $\alpha_3 = 1 - m_0$ ,  $c_{pi}$  — теплоемкость фазы при постоянном давлении,  $\lambda_i$  — коэффициенты теплопроводности,  $Q(t)$  — общий расход смеси воды и нефти.

Свойства функциональных параметров модели описаны в работе [2]. Заметим, что  $k_1(0) = k_2(1) = 0$ ,  $j(1) = 0$ . Это приводит к вырожденному уравнению для водонасыщенности и появлению больших градиентов водонасыщенности в окрестности ( $x = 0$ ) и ( $x = L$ ), то есть вблизи добывающих и нагнетательных скважин. Это усложняет численное решение задачи.

Уравнение для водонасыщенности можно также переписать в следующем эквивалентном представлении:

$$ms_t = (k_0 a_0 p_{cx} - Q(t)b)_x. \quad (1b)$$

Представление выражения (1б) проще при численной реализации, и поэтому в дальнейшем используется именно эта запись для  $s(x, t)$ . Нижний индекс  $s$  при капиллярном давлении в дальнейшем не используется.

Положив  $\max_t |Q(t)| = Q_0 = \text{const}$ , введем безразмерные переменные:  $x^* = x / L$ ,  $t^* = Q_0 t / (mL)$ ,  $\theta^* = (\theta - \theta_{\min}) / (\theta_{\max} - \theta_{\min})$ ,  $\lambda^* = \lambda / \lambda_0$ ,  $\lambda_0 = \lambda(0, \theta_{\min})$  (далее звездочки у безразмерных величин опускаются). В силу доказанного в [2] принципа максимума, значения  $\theta_{\min}$  и  $\theta_{\max}$  достигаются на границах области при  $x = 1$  и  $x = 0$ . Систему уравнений (1) в новых обозначениях можно записать в виде

$$\begin{cases} s_t = (\varepsilon a p_x - qb)_x, \\ \theta_t = (\varepsilon_\theta \lambda \theta_x - m q \theta)_x, \end{cases} \quad (2)$$

где  $\varepsilon = \gamma_0(m_0/k_0)^{1/2}/(Q_0L\mu_0)$  — капиллярное число,  $a(s, \theta) = -k_1k_2/(\mu_2^*(k_1 + \mu k_2))$ ,  
 $p(s, \theta) = j\gamma^*$ ,  $\varepsilon_\theta = m\lambda_0/(Q_0L)$ ,  $q = Q/Q_0$ ,  $\gamma^* = \gamma/\gamma_0$ ,  $\mu = \mu_1^*/\mu_2^*$ ,  $\mu_2^* = \mu_2/\mu_0$ ,  
 $\mu_1^* = \mu_1/\mu_0$ ,  $\gamma_0 = \max_{\theta \in [0,1]}(\gamma(\theta))$ ,  $\mu_0 = \max_{\theta \in [0,1]}(\mu_2(\theta))$  (звездочки при  $\mu_1^*$ ,  $\mu_2^*$  и  $\gamma^*$

в дальнейшем изложении опускаются). При значении параметра  $\varepsilon = 0$  и  $\theta \neq \text{const}$  будет иметь место неизотермическая модель Баклея–Левретта (БЛТ), при значениях  $\varepsilon \neq 0$  и  $\theta = \text{const}$  приходим к изотермической МЛ модели, а при  $\varepsilon = 0$  и  $\theta = \text{const}$  получим изотермическую модель Баклея–Левретта (БЛ).

В стационарном случае система уравнений (2) записывается в виде:

$$\begin{cases} (\varepsilon a p_x - qb)_x = 0, \\ (\varepsilon_\theta \lambda \theta_x - m q \theta)_x = 0. \end{cases} \quad (3)$$

Систему уравнений (3) удобнее решать методом установления, сделав перед этим регуляризацию по времени. Для системы (3) сформулируем регуляризованную начально-краевую задачу в безразмерном виде:

$$\begin{cases} \sigma_1 s_t = (\varepsilon a p_x - qb)_x, \\ \sigma_2 \theta_t = (\varepsilon_\theta \lambda \theta_x - m q \theta)_x, \end{cases} \quad (4)$$

$$s|_{x=0}=1, \quad s|_{x=1}=0, \quad s|_{t=0}=s_0(x), \quad x \in (0,1); \quad \theta|_{x=0}=\theta_1, \quad \theta|_{x=1}=\theta_2; \quad \theta|_{t=0}=\theta_0(x), \quad x \in (0,1),$$

где  $s_0(x)$  и  $\theta_0(x)$  — начальное приближение к решению (4),  $\sigma_1$  и  $\sigma_2$  — расчетные параметры.

## 2. ОПИСАНИЕ ЧИСЛЕННОГО АЛГОРИТМА РЕШЕНИЯ ЗАДАЧИ

Введем равномерную сетку  $E$  с распределенными узлами  $\{x_i = ih, t_n = n\tau, i = \overline{0, N}, n = 0, 1, 2, \dots\}$ ,  $h$  — шаг по координатной сетке,  $\tau = Kh^2$  — шаг по времени. В расчетах шаг  $h$  брался равным 0,01 ( $N = 100$ ), а  $\tau = 0,001$ . В дальнейшем в разностных схемах используются обозначения, предложенные в работе [6].

При нахождении численного решения выбирались противоположные однородные разностные схемы для уравнения насыщенности и для уравнения температуры. Для задачи (4) разностные схемы имеют вид:

$$\begin{aligned} \sigma_1 \frac{s_i^{n+1} - s_i^n}{\tau} &= \frac{\varepsilon}{h} \left( a_{i+1/2}^n p_{x,i}^{n+1} - a_{i-1/2}^n p_{\bar{x},i}^{n+1} \right) - z_i^+ b_{\bar{x},i}^{n+1} - z_i^- b_{x,i}^{n+1}, \quad s_i^0 = s_0(x_i), \\ i &= \overline{1, N-1}, \quad n = 1, 2, \dots, \quad s_0^{n+1} = 1, \quad s_N^{n+1} = 0, \\ \sigma_2 \frac{\theta_i^{n+1} - \theta_i^n}{\tau} &= \frac{\varepsilon_\theta}{h} \left( \lambda_{i+1/2}^n \theta_{x,i}^{n+1} - \lambda_{i-1/2}^n \theta_{\bar{x},i}^{n+1} \right) - m \left( z_i^+ \theta_{\bar{x},i}^{n+1} - z_i^- \theta_{x,i}^{n+1} \right) = 0, \quad \theta_i^0 = \theta_0(x_i), \\ i &= \overline{1, N-1}, \quad \theta_0^{n+1} = \theta_1, \quad \theta_N^{n+1} = \theta_2, \end{aligned} \quad (5)$$

где  $n$  — номер итерации,  $z_i^+ = (|q_i| + q_i)/2$ ,  $z_i^- = -( |q_i| - q_i)/2$ ,  $a_{i+1/2}^n = a((s_i^n + s_{i+1}^n)/2, (\theta_i^{n+1} + \theta_{i+1}^{n+1})/2)$ ,  $b_i^{n+1} = b_i^n + b_{si}^n (s_i^{n+1} - s_i^n)$ ,  $p_i^{n+1} = p_i^n + p_{si}^n (s_i^{n+1} - s_i^n)$ ,  $q_i = q(x_i)$ . При этом сначала решалось уравнение для температуры, а затем — уравнение для насыщенности. В случае численного решения системы (2)

использовались разностные схемы, аналогичные уравнению (5) но разработанные для нестационарного случая.

После каждого расчета  $s_i^{n+1}$ , водонасыщенность взвешивалась по следующей формуле:

$$\tilde{s}_i^{n+1} = \sigma_3 s_i^{n+1} + (1 - \sigma_3) s_i^n, \quad (6)$$

где  $\sigma_3$  — весовой коэффициент. Решением полагались величины  $(\tilde{s}_i^{n+1}, \theta_i^{n+1})$ .

В численных расчетах использовался следующий набор модельных параметров:

$k_1 = s^2$ ,  $k_2 = (1 - s)^2$ ,  $j = (1 - s)/(0,9 + s)$ ,  $S_1^0 = S_2^0 = 0$ ,  $m = 0,1$ ,  $\mu_2 = \mu_{2\max} + (\mu_{2\min} - \mu_{2\max})\theta$ ,  $\mu_1 = 0,1$ ,  $\gamma = \gamma_{\max} + (\gamma_{\min} - \gamma_{\max})\theta$ ,  $\gamma_{\max} = 1$ ,  $\sigma_1 = \sigma_2 = 0,0001$ ,  $\sigma_3 = 0,1$ .  
Выбор  $\mu_1 = \text{const}$  был определен тем, что вязкость воды, как правило, слабо зависит от температуры.

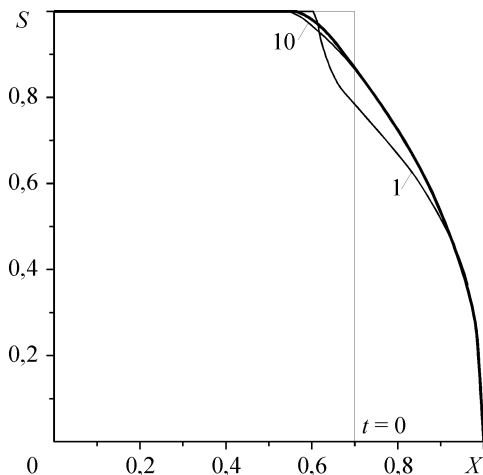
Остальные данные брались из работы [7]:

$\lambda_1 = 0,644$  Вт(м·К),  $\lambda_2 = 0,08$  Вт(м·К),  $\lambda_3 = 2,40$  Вт(м·К),  $\rho_1 = 1000$  кг/(м<sup>3</sup>),  
 $\rho_2 = 730$  кг/(м<sup>3</sup>),  $\rho_3 = 4216$  кг/(м<sup>3</sup>),  $c_{p1} = 4071$  Дж/(кг·К),  $c_{p2} = 2100$  Дж/(кг·К),  
 $c_{p3} = 920$  Дж/(кг·К).

### 3. Численное исследование сходимости решений МЛТ модели в нестационарном одномерном случае к стационарному решению

#### 3.1. Особенности стационарных решений при закачке вытеснителя нефти с температурой коллектора

На рис. 1 тонкой линией обозначено стационарное решение при  $q = 1$ ,  $\varepsilon = 0,15$  с начальным приближением  $s_0(x) = 1$ ,  $x \in [0, 0,7]$  и  $s_0(x) = 0$ ,  $x \in [0,7, 1]$ . Остальными линиями показаны решения первой краевой задачи в разные моменты времени. Из рисунка видно, что решения нестационарной задачи сходятся к решению стационарной. Проведены расчеты с разными  $\varepsilon$  и  $\mu$ , установлено, что при  $\varepsilon < \varepsilon'$



имеет место сходимость к решениям с участком в окрестности эксплуатационной скважины, на котором  $s = 1$ ,  $x \in [0, x(\varepsilon')]$ , здесь  $x(\varepsilon')$  — предельная точка распространения фронта  $s = 1$ . При использовании вышеприведенных параметров критическое  $\varepsilon'$  приблизительно равнялось 0,36. С увеличением  $\mu$  увеличивается и соответствующее предельное  $\varepsilon'$ .

Рис. 1. Закачка воды с температурой пласта при  $\varepsilon = 0,15$ .

**3.2. Структура неизоотермических стационарных решений при  $q = 1$ ,  $\theta \neq \text{const}$ ,  $\varepsilon_\theta = 0,01$ .**

При численном моделировании закачки в пласт горячей воды  $\theta_1$  полагалось равным 1,  $\theta_2 = 0$ , а при закачке холодной — соответственно 0 и 1.

Далее на рисунках линиями 1 обозначены неизоотермические решения  $s(x, t)$  в стационарном случае, линиями 2 — изотермические решения (при  $\theta \equiv \theta_2$ ), линиями 3 — температурные профили.

*Пример 1.* На рис. 2, *a* приведены графики решений, соответствующие закачиванию в пласт горячей воды, при  $\gamma_{\min} = 0,5$ ,  $\mu_{2\min} = \mu_{2\max} = 1$ ,  $\varepsilon = 0,5$ ,  $s_0(x) = 1 - x$ . Таким образом, зависимость вязкости от температуры не учитывалась. Характерной особенностью решений в неизоотермическом случае является поднятие решения в области, где  $\theta \approx 1$ , и опускание решения в районе больших градиентов температуры. Это приводит, с ростом величины  $\varepsilon$ , к появлению излома у графика для  $s(x)$  вблизи  $x = 1$  и формированию области с водонасыщенностью  $s(x) \equiv 1$  в окрестности нагнетательной скважины, как и в пункте 3.1. Так, например, на рис. 2, *b* приведены решения для  $\gamma_{\min} = 0,05$ ,  $\varepsilon = 0,95$ ,  $s_0(x)$  (см. рис. 1). Видно, что сформировалась зона, где  $s(x) = 1$ , и имеет место сильный излом графика вблизи  $x = 1$ .

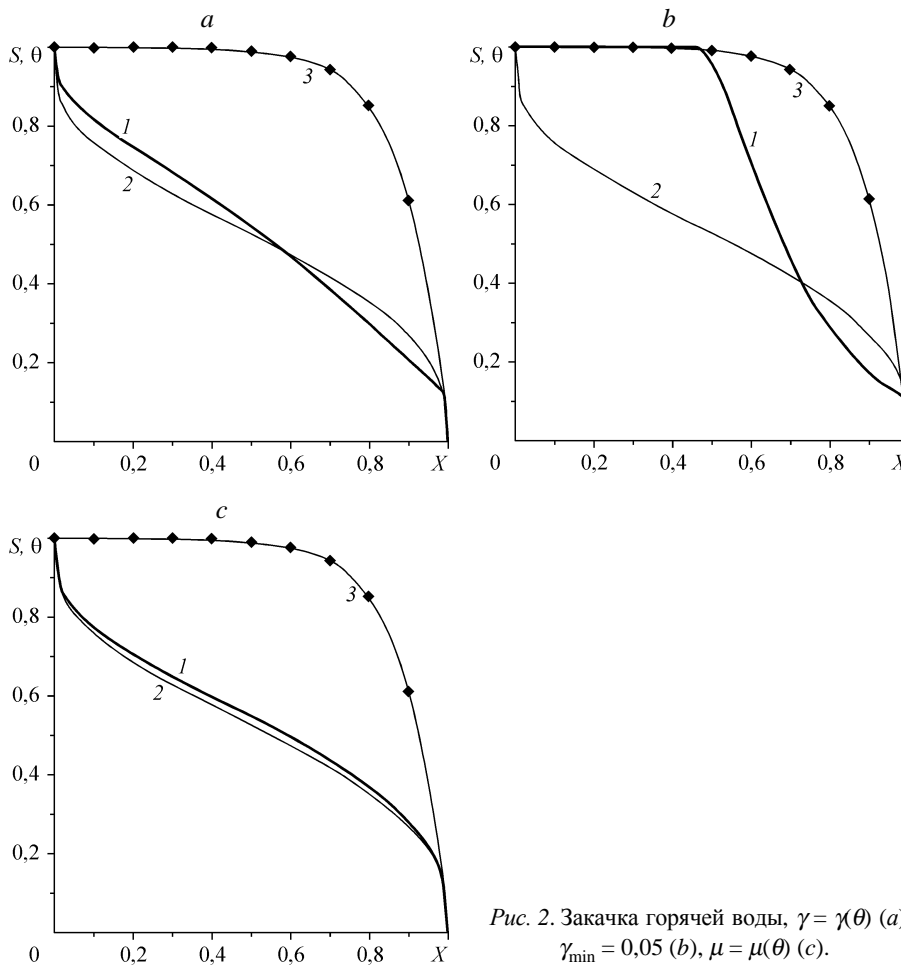


Рис. 2. Закачка горячей воды,  $\gamma = \gamma(\theta)$  (*a*),  $\gamma_{\min} = 0,05$  (*b*),  $\mu = \mu(\theta)$  (*c*).

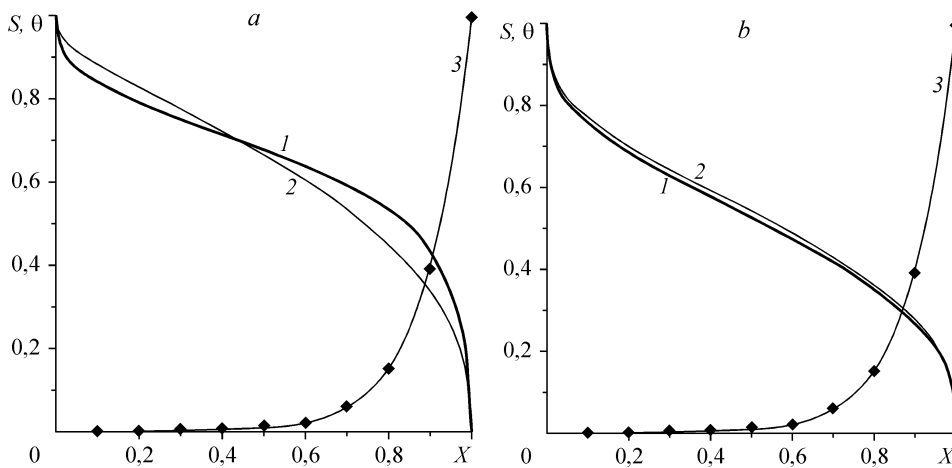


Рис. 3. Закачка холодной воды,  $\gamma = \gamma(\theta)$  (a),  $\mu_2 = \mu_2(\theta)$  (b).

*Пример 2.* Закачка в пласт горячей воды при  $\gamma \equiv 1$ ,  $\mu_{2\min} = 0,2$ . Соответствующие графики приведены на рис. 2, с. Особенностью стационарного неизоэтермического решения здесь является его превышение над изотермическим на всем интервале  $(0, 1)$ . Отметим, что при уменьшении  $\varepsilon$  разница между решениями  $s(x)$  в изотермическом и неизоэтермическом вариантах уменьшается и при  $\varepsilon \leq 0,68$  разница становится меньше, чем  $10^{-2}$ .

*Пример 3.* Соответствует примеру 1, но в случае закачки в пласт холодного вытеснителя. На рис. 3 приведены соответствующие графики решений. В этом варианте характерной особенностью неизоэтермических решений по сравнению с изотермическими является снижение решения в районе нагнетательной скважины и поднятие вблизи добывающей скважины. Этот эффект приводит к формированию области с  $s(x) = 1$  при меньших  $\varepsilon'$ , чем указано в пункте 3.1.

*Пример 4.* Соответствует примеру 2, но при закачке холодной воды. На рис. 3, b приведены графики полученных решений. Особенностью неизоэтермического решения является снижение водонасыщенности на всем интервале  $(0, 1)$ . Уменьшение  $\varepsilon$  приводит к уменьшению разницы между изотермическим и неизоэтермическим решениями и при  $\varepsilon \leq 0,75$  разница становится меньше, чем  $10^{-2}$ .

В таблице приведены разности между стационарными и нестационарными решениями для водонасыщенности в разные моменты времени для разных примеров.

### 3.3. Оценка скорости сходимости

В настоящей работе численно анализировалось поведение следующих функций:

$$\alpha_1(t) = -\ln(\max_x |s(x, t) - s(x)|) / (t + 1), \quad \alpha_2(t) = -\ln(\max_x |s(x, t) - s(x)|) / \ln(1 + t).$$

Таблица

Разности между решениями  $s(x, t)$  в разные моменты времени

Время	Пример 1	Пример 2	Пример 3	Пример 4
$t = 1$	0,0579923	0,0000197	0,0171444	0,0418498
$t = 2$	0,0191552	0,0000001	0,0211749	0,0025136
$t = 5$	0,0018473	меньше $10^{-10}$	0,00001070	0,0028916

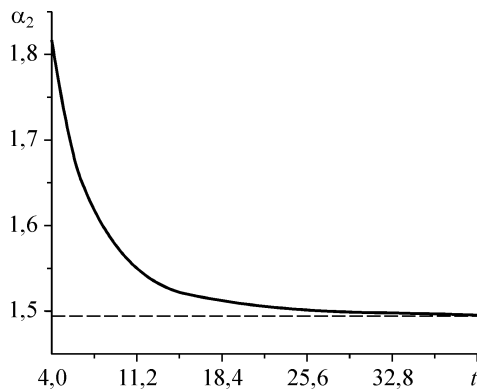


Рис. 4. График функции  $\alpha_2(t)$ , закачка горячей воды.

Если  $\lim_{t \rightarrow \infty} \alpha_1(t) = \beta$ , то имеем экспоненциальную оценку выхода на стационарный режим вида  $\max_x |s(x, t) - s(x)| \leq Ce^{-\beta t}$ .

Если  $\lim_{t \rightarrow \infty} \alpha_2(t) = \delta$ , то имеет место степенная сходимость к стационарному решению  $\max_x |s(x, t) - s(x)| \leq C(1+t)^{-\delta}$ .

Для задачи (4) в случае  $q(t) = 1 + 0,1(1+t)^{-2}$ ,  $s_0(x) = 1 - x$  при  $\varepsilon = 0,375$ ,  $\varepsilon_\theta = 0,01$ ,  $\mu_{2\min} = 0,2$ ,  $\gamma_{\min} = 0,85$  получено, что имеет место степенная сходимость к стационарному решению с показателем  $\delta \approx 1,49$ . Вообще говоря, с меньшим показателем, чем у функции  $q(t)$ , (см. рис. 4).

#### ВЫВОДЫ

Результаты расчетов показывают, что сходимость нестационарных решений задач фильтрации к стационарным функциям зависит от начального приближения и имеет степенной характер. При различных значениях величин  $\varepsilon$ ,  $q$  стационарное решение может иметь или не иметь участок, где водонасыщенность  $s(x) \equiv 1$ . Подача горячей воды положительно сказывается на процессе вытеснения нефти из пласта. Холодная вода способствует запиранию нефти в пласте. Зависимость поверхностного натяжения по сравнению с вязкостью от температуры оказывает на асимптотическое решение большее влияние.

#### СПИСОК ЛИТЕРАТУРЫ

1. Антонцев С.Н., Кажихов А.В., Монахов В.Н. Краевые задачи механики неоднородных жидкостей. — Новосибирск, Наука, 1983. — 316 с.
2. Бочаров О.Б., Монахов В.Н. Краевые задачи неизоэнтальной двухфазной фильтрации в пористых средах // Динамика сплошной среды. — Новосибирск: ИГиЛ СО РАН СССР, 1988. — Вып. 86. — С. 47–59.
3. Артемова Г.Н., Хуснутдинова Н.В. Об асимптотике решений двумерного уравнения типа нестационарной фильтрации двухфазной жидкости // Динамика сплошной среды. — Новосибирск: ИГиЛ СО РАН СССР, 1969. — Вып. 2. — С. 91–99.
4. Хуснутдинова Н.В. О стабилизации решений нелинейного уравнения фильтрации двухфазной жидкости // ПМТФ. — 1999. — Т. 40, № 3. — С. 30–36.
5. Хуснутдинова Н.В. Об асимптотических свойствах решений уравнения одномерной нестационарной фильтрации двухфазной жидкости // Динамика сплошной среды. — Новосибирск: ИГиЛ СО РАН СССР, 1979. — Вып. 39. — С. 119–134.
6. Самарский А.А. Введение в теорию разностных схем. — М.: Наука, 1971. — 552 с.
7. Бочаров О.Б., Осокин А.Е. Численное исследование автомодельных задач неизоэнтальной двухфазной фильтрации // Сибирский журнал индустриальной математики. — Новосибирск, 2002. — Т. 5, № 1. — С. 8–20.

Статья поступила в редакцию 29 ноября 2007 г.